

8. **foreach** 图 G_i 中从 v_i 出发的、出发时刻为 t 的边 e **do**
9. 生成一条仅包含 e 的路径 ρ , 加进 H 中;
10. **while** $H \neq \emptyset$ **do**
11. 设 $\rho = \langle u, t_a^*, c^*, \rho_{pred} \rangle$ 是 H 的堆顶的路径, 摘除 ρ ;
12. 设最近添加进 $\mathcal{B}(u)$ 的路径是 ρ' . **if** ρ' 的到达时刻 $\leq t_a^*$ **then continue**;
13. 将 ρ 添加进 $\mathcal{B}(u)$;
14. **foreach** 图 G_i 中从 u 出发的每条边 $e = \langle u, w, t_d, t_a, c \rangle$ **do**
15. **if** $t_d < t_a^*$ **then continue**;
16. 生成路径 $\rho_{new} = \langle w, t_a, c^* + c, \rho \rangle$;
17. **if** $c^* + c \geq \mathcal{C}(e)$ **then continue**; **else** 令 $\mathcal{C}(e) = c^* + c$, 将 ρ_{new} 加进 H ;
18. **foreach** G_i 中的顶点 u **do**
19. 设 $L_{v_i}^u$ 是 $\mathcal{L}_-(u)$ 中表示从 v_i 到 u 的路径的标签组. 调用 $MarkPrune(\mathcal{B}(u), L_{v_i}^u)$;
20. **foreach** $\rho = \langle u, t_a, c, \rho_{pred} \rangle \in \mathcal{B}(u)$, 其中 u 为 G_i 中的顶点 **do**
21. **if** ρ 标记为保留但 ρ_{pred} 标记为删除 **then**
22. 标记 ρ_{pred} 为保留. 追溯检查 ρ_{pred} 的前缀路径 ρ'_{pred} , 直到 ρ'_{pred} 标记为保留;
23. **foreach** $\rho = \langle u, t_a, c, \rho_{pred} \rangle \in \mathcal{B}(u)$, 其中 u 为 G_i 中的顶点 **do**
24. 设 $L_{v_i}^u$ 是 $\mathcal{L}_-(u)$ 中表示从 v_i 到 u 路径的标签组. 生成标签 $\langle t, t_a, c, l_{ptr} \rangle$ 加进 $L_{v_i}^u$, 其中 l_{ptr} 指向表示 ρ_{pred} 的标签;
25. **foreach** G_i 中的顶点 u **do** 对 $\mathcal{L}_-(u)$ 中的标签组 $L_{v_i}^u$ 内的标签排序;
26. 仿照第 2 行~第 25 行生成到达 v_i 的基本路径, 选择部分路径生成标签集合;
27. 将 v_i 从 G_i 中删掉, 生成 G_{i+1} ;
28. 返回所有顶点 $v \in V$ 的 $\mathcal{L}_+(v)$ 和 $\mathcal{L}_-(v)$;

如何从满足等级约束的路径中有效地计算出非支配路径? 假设计算从 v_i 出发的基本路径. 由于在 t 时刻出发的路径仅可能被在 t' 时刻 ($t' \geq t$) 出发的路径支配, 所以按 v_i 的出发时刻降序的顺序调用 Dijk-CCMTP (第 6 行). 第 7 行~第 17 行的处理与 Dijk-CCMTP 类似, 但做了以下改动.

- (1) 保存在堆 H 中的路径 $\rho = \langle u, t_a, c, \rho_{pred} \rangle$ 增加一个分量 ρ_{pred} , 表示 ρ 的前缀路径.
- (2) 对于 G_i 中的每个顶点 u , 用一个包 $\mathcal{B}(u)$ 收集从 v_i 到 u 的非支配路径. ρ 从 H 摘除后 (第 11 行), 仅当 ρ 不被 $\mathcal{B}(u)$ 中的路径支配时才将 ρ 加进 $\mathcal{B}(u)$. 回顾 H 中的路径, 按照费用升序出堆; 另一方面, 第 10 行~第 17 行的 **while** 循环计算的路径有相同的起点 (s) 和出发时刻 (t), 可推出路径按到达时刻降序的顺序加入 $\mathcal{B}(u)$, 所以只需要比较 ρ 和最近一条加入 $\mathcal{B}(u)$ 的路径的到达时刻, 即可得出 ρ 是否被 $\mathcal{B}(u)$ 内的路径支配 (第 12 行).
- (3) 由于终点 d 和费用上限 θ 在构建索引时未知, 所以在 BuildIndex 中不利用 d 和 θ 进行剪枝.

当在 t 时刻从 v_i 出发的路径遍历完后, 对于每个可达顶点 u , 它的包 $\mathcal{B}(u)$ 包含了到达 u 的非支配路径. 第 19 行的 MarkPrune 算法从 $\mathcal{B}(u)$ 中选择部分路径加入 ACCTL, 选择细节将在第 5.2 节中讨论. MarkPrune 独立地选择 $\mathcal{B}(u)$ 中的路径加进 ACCTL, 即是说, MarkPrune 在选择 $\mathcal{B}(u)$ 中的路径时并不考虑另一个顶点 v 的包 $\mathcal{B}(v)$ 内的路径, 其后果可能导致还原路径时出错. 假设在选择 $\mathcal{B}(u)$ 中的路径时, 路径 $\rho = \langle \cdot, \cdot, \cdot, \rho_{pred} \rangle$ 被选中, 生成相应的标签 l 加进 ACCTL. 为了保证标签 l 能正确被还原, 表示路径 ρ_{pred} 的标签 l_{ptr} 必须在 ACCTL 中. 然而 l_{ptr} 可能不在 ACCTL 中, 因为 MarkPrune 在选择 $\mathcal{B}(v_{pred})$ 内的路径 (假设 v_{pred} 是 ρ 上 u 的直接前驱顶点) 时并没有考虑 ρ . 因此, 在调用完 MarkPrune 以后, 需要自底向上地检查每条被保留的路径是否可被还原. 加进 ACCTL 的标签是否可被还原, 取决于它对应的路径 ρ 的前缀路径 ρ_{pred} 是否也生成对应的标签加进 ACCTL. 对于每条被 MarkPrune 算法标记为保留的路径 ρ , 如果 ρ_{pred} 也被标记成保留, 则对 ρ 的检查结束; 否则, 将 ρ_{pred} 标记成保留, 并追溯 ρ_{pred} 的前缀路径是否标记

为保留,直到遇到前缀路径被标记为保留为止.假设 G_i 中所有顶点 u 的 $\mathcal{B}(u)$ 集合的路径总数为 m ,第 20 行~第 22 行自底向上检查的时间复杂度是 $O(m)$.由引理 2, m 不超过 $|E|$.实际上,受出发时刻和路径支配约束, $m \ll |E|$.因此,第 20 行~第 22 行不会产生太大耗费.

对于每条标记为保留的路径,第 23 行、第 24 行生成标签 l 并加进相应的标签组.最后,第 26 行调用反向 Dijk-CCMTP 算法计算到达 v_i 的基本路径,计算过程与第 4 行~第 25 行相似.

5.2 选择路径

本节关注算法 3 第 19 行的 MarkPrune 算法如何选择 $\mathcal{B}(u)$ 中的路径加进 ACCTL. $\mathcal{B}(u)$ 包含了在 t 时刻出发的从 v_i 到 u 的路径.关键问题是:如何在 $\mathcal{B}(u)$ 中选择尽量少的路径加进 ACCTL,同时能够保证对于任意的查询 Q ,都能在 ACCTL 中找到标签生成近似解?换句话说,对于任意路径 $\rho \in \mathcal{B}(u)$,如果表示 ρ 的标签没有加进 ACCTL,则在 ACCTL 中存在另一条标签对应路径 ρ' ,使得 $\rho' \alpha$ -支配 ρ .精确计算出保留的路径的最小集合是一个 NP-难问题,MarkPrune 采用贪心的策略选择路径,如算法 4 所示.

算法 4. MarkPrune.

输入:在 t 时刻出发从 v_i 到 u 的基本路径的集合 $\mathcal{B}(u)$, $\mathcal{L}_-(u)$ 中表示从 v_i 到 u 的路径的标签组 $L_{v_i}^u$.

输出: $\mathcal{B}(u)$ 内的标签标记为保留或删除.

1. 假设 $\mathcal{B}(u)$ 内的路径的加入顺序依次是 $\rho_0, \rho_1, \dots, \rho_{k-1}$,初始时对于 $0 \leq i < k$,设 $d(\rho_i) = \rho_i$;
2. 标记 ρ_{k-1} 为保留;令 $x = k - 1$;
3. **for** $y = k - 2, k - 3, \dots, 1, 0$ **do**
4. **if** $\rho_x \alpha$ -支配 ρ_y **then** 标记 ρ_y 为删除;记录 $d(\rho_x) = \rho_y$;
5. **else** 标记 ρ_y 为保留;令 $x = y$;
6. **foreach** 标记为保留的路径 $\rho \in \mathcal{B}(u)$ **do**
7. **if** $L_{v_i}^u$ 内存在标签表示路径 ρ' ,使得 $\rho' \alpha$ -支配 $d(\rho)$ **then** 标记 ρ 为删除;
8. **返回**;

假设加入 $\mathcal{B}(u)$ 的路径的顺序依次是 $\rho_0, \rho_1, \dots, \rho_{k-1}$.由于路径按费用升序生成,受路径支配的限制, $\rho_0, \rho_1, \dots, \rho_{k-1}$ 自动按到达时刻降序排列.因此, ρ_i 仅可能 α -支配比它早加入 $\mathcal{B}(u)$ 的路径 $\rho_j (j < i)$.MarkPrune 中,令 x 指向最近被标记为保留的路径,初始时令 ρ_{k-1} 标记为保留, x 指向 ρ_{k-1} .接下来,从 ρ_{k-2} 开始依次往前扫描路径,令 y 指向当前被检查的路径.如果 $\rho_x \alpha$ -支配 ρ_y ,则 ρ_y 标记为删除;否则, ρ_y 标记为保留.然后,继续检查 ρ_y 可否 α -支配更早期加入 $\mathcal{B}(u)$ 的路径,令 x 指向 ρ_y .

回顾在 BuildIndex 算法中,从 v_i 出发的路径按出发时刻从晚到早的顺序生成,因此当前 $L_{v_i}^u$ 内的标签表示的路径的出发时刻均晚于 $\mathcal{B}(u)$ 内的路径,也可能 α -支配 $\mathcal{B}(u)$ 内的某些路径.直观来说,如果在 $L_{v_i}^u$ 内存在某条标签对应的路径 $\rho' \alpha$ -支配 $\mathcal{B}(u)$ 内的某条路径 ρ ,则可以把 ρ 删除.但这种判断会引起错误.假设 $\alpha = 1.1$, $\mathcal{B}(u)$ 中存在两条路径 ρ_{10} 和 ρ_{11} ,费用分别是 10 和 11,且有 $\rho_{11} \alpha$ -支配 ρ_{10} .于是保留 ρ_{11} ,删除 ρ_{10} .假设 $L_{v_i}^u$ 中存在某条标签表示路径 ρ_{12} ,费用 12,且有 $\rho_{12} \alpha$ -支配 ρ_{11} .如果因为 ρ_{12} 的存在删除 ρ_{11} ,则没有路径 α -支配 ρ_{10} .因此,MarkPrune 采用 $d(\rho)$ 记录 ρ 的支配范围,即 ρ 能够 α -支配的费用最小的路径是哪条. $L_{v_i}^u$ 中,某条标签表示的路径 ρ' 能够删除 $\mathcal{B}(u)$ 中的某条路径 ρ ,仅当 $\rho' \alpha$ -支配 $d(\rho)$.

定理 2. BuildIndex 算法生成的 ACCTL 索引是正确的.

证明:假设 P_{opt} 是一个从顶点 s 到顶点 d 的查询 Q 的精确解,且 P_{opt} 上任意一段子路都是非支配路径.由引理 1,这样的路径 P_{opt} 是存在的.设 v_{τ} 是 P_{opt} 上等级最高的点, P_{opt} 上从 s 到 v_{τ} 的路段记为 P_{opt}^+ ,从 v_{τ} 到 d 的路段记为 P_{opt}^- .首先证明:在 ACCTL 中能找到标签生成路径 P ,使得 $P \alpha$ -支配 P_{opt} .BuildIndex 的第 6 行~第 17 行枚举了所有从 v_{τ} 出发的基本路径,保证生成了 P_{opt}^- ;第 18 行、第 19 行保证 ACCTL 存在路径 $P_-, P_- \alpha$ -支配 P_{opt}^- .对称地,

ACCTL 也存在路径 P_+, P_+ - α -支配 P_{opt}^+ 在费用方面, $c(P_+) + c(P_-) \leq \alpha \cdot c(P_{opt}^+) + \alpha \cdot c(P_{opt}^-) = \alpha \cdot c(P_{opt})$. 在时间方面, P_+ 的到达时刻 $\leq P_{opt}^+$ 的到达时刻 $\leq P_{opt}^-$ 的出发时刻 $\leq P_-$ 的出发时刻, 所以 P_+ 与 P_- 能够拼接成路径; 同时, P_+ 的出发时刻 $\geq P_{opt}^+$ 的, P_- 的到达时刻 $\leq P_{opt}^-$ 的, 所以 P_+ 和 P_- 拼接的路径 α -支配 P_{opt} . 最后, 第 20 行~第 22 行保证了每条路径的前缀路径的标签都在 ACCTL 中, 于是能够将标签正确还原成 G 上的一条路径. \square

定理 3. 设查询 Q 的费用限制是 θ , P_{opt} 是 Q 的精确解, 且 P_{opt} 上任意一段子路都是非支配路径. 设 P 是用 ACCTL 查询所得解.

- (1) 若 $\alpha \cdot c(P_{opt}) \leq \theta$, 则 P 是精确解;
- (2) 若 $\theta < \alpha \cdot c(P_{opt})$, 则 P 有可能是精确解, 也可能是近似解; 若 P 是近似解, 满足:
 - (2.1) $c(P) \leq \alpha \cdot c(P_{opt})$;
 - (2.2) P 不早于 P_{opt} 出发且不晚于 P_{opt} 到达.

证明: 设 P_{opt}^+ 和 P_{opt}^- 的含义如定理 2 中的证明所述.

- 用反证法证明: (1) 当 $\alpha \cdot c(P_{opt}) \leq \theta$ 时, P 是精确解. 因为 P_{opt} 上任意一段子路都是非支配路径, 所以 P_{opt}^+ 是非支配路径, 于是在 ACCTL 中存在标签 l_+^* , 使得 l_+^* 表示的路径 α -支配 P_{opt}^+ ; 同理, ACCTL 存在标签 l_-^* , 使得 l_-^* 表示的路径 α -支配 P_{opt}^- . 于是, l_+^* 和 l_-^* 拼接的路径 P 满足费用限制: $c(P) \leq \alpha \cdot c(P_{opt}^+) + \alpha \cdot c(P_{opt}^-) = \alpha \cdot c(P_{opt}) \leq \theta$. 另一方面, 由 α -支配的定义, P 的出发时刻 $\geq P_{opt}^+$ 的, 到达时刻 $\leq P_{opt}^-$ 的, 与 P_{opt} 是最优解矛盾.
- (2) 当 $\theta < \alpha \cdot c(P_{opt})$ 时, 如果 ACCTL 中存在的标签 l_+^* 和 l_-^* 拼接的路径 P 满足 $c(P) \leq \theta$, 则同情形(1)的证明, P 是精确解; 若 $c(P) > \theta$, 则 P 是近似解, 可采用定理 2 的证明过程证明情形(2.1)和情形(2.2). \square

定理 4. BuildIndex 算法的时间复杂度是 $O(|V| \cdot \Delta_{\max} \cdot |E| \cdot (\log |E| + \Delta_{\max}))$, 其中, $|V|$ 表示顶点数, $|E|$ 表示边数, Δ_{\max} 表示顶点的最大度数.

5.3 点序 o 的计算

与文献[14,15,21,22]相同, 尽管顶点的等级序 o 的选取不影响查询结果的正确性, 但会影响索引所包含的标签数目, 进而影响查询效率. 要精确计算出 o , 使得索引所包含的的标签数最少是一个 NP-难的问题. 因此, 本文采用文献[14,21]的方法, 对 o 进行启发式计算. 如果顶点 v 在路径 P 上, 则称 v 覆盖 P . ACCTL 的作用好比把一张记录任意查询 Q 的解的数据库表 T 分解成两张表 T_1 和 T_2 , 使得 T 中的记录可以通过 T_1 和 T_2 的连接操作生成. T_1 好比记录了所有顶点 v 的 $\mathcal{L}_+(v)$ 内的标签, T_2 记录了 $\mathcal{L}_-(v)$ 内的标签. 为使 T_1 和 T_2 尽量小, 应该使得 T_1 和 T_2 之间能连接上的记录尽量多. 这等同于: v 覆盖的带费用限制的最小时态路径越多, v 的等级就应该越高. 由于带费用限制的最小时态路径太多, 不可能逐一枚举, 所以本文采用这样的方法确定 o : 从图中随机选取一个顶点集合 $V_{sub} \subset V$, 分别从 V_{sub} 的每个顶点 v 出发扩展路径. 留意到路径具有时间和费用两个属性, 两个点之间有多条不会被相互支配的路径. 本文采用近似的方法将路径的时间和属性量化成一个值: 一条路径 P 的“长度”等于 P 的费用 $\times \beta + P$ 的耗时 $\times (1 - \beta)$, 其中, β 是一个 $[0, 1]$ 范围内的实数, 在从 v 出发扩展路径之前随机生成. 这样, 从顶点 v 出发, 采用类 Dijkstra 算法搜索全图, 可得出 v 到其他顶点的最短路径, 生成一棵以 v 为根的 Dijkstra 树. 树上任一顶点 u 到 u 的子孙的路径也是最短路径, 因此 u 在图中覆盖的最短路径数等于以 u 为根的子树包含的顶点数, 包括 u 自身. u 在 $|V_{sub}|$ 棵树覆盖的最短路径的总数视为 u 覆盖最短路径数. 算法对 $|V_{sub}|$ 棵树分别做自底向上的扫描, 统计出每个顶点覆盖的最短路径数目, 从中选出覆盖最短路径数最多的点 v_0 作为等级最高的顶点; 然后, 在每棵树中删除以 v_0 为根的子树, 再更新各个顶点覆盖的最短路径数, 在“剩下的”路径中, 选择覆盖数目最大的顶点 v_1 作为等级次高的顶点... 依此类类推. 若 $|V_{sub}|$ 棵树删除完后仍有顶点的 o 序未确定, 则按顶点的度数从大到小排序确定.

6 实验

实验采用 C++ 语言编写测试代码,测试平台 Windows 10,64 位操作系统,机器配置 Intel(R) Core(TM) i7-8700K CPU,64GB 内存.实验采用文献[21]提供的数据集做测试.数据采集自 GTFS^[25],记录了一些地区的公共交通数据.数据集中每条边 e 只记录了出发时刻和到达时刻,实验给 e 生成一个费用值.为了模拟真实环境,一条从 u 到 v 的边的费用取值图中所有从 u 到 v 的边的耗时的平均值.实验数据的特征见表 4, $|V|$ 表示顶点数, $|E|$ 表示边数, A_{\max} 表示顶点最大度数, \bar{A} 表示平均顶点度数.下文就 ACCTL 索引的查询时间、索引大小和建立索引的时间进行分析.

Table 4 Characteristics of datasets

表 4 数据集特征

数据集	$ V $	$ E $	A_{\max}	\bar{A}	数据集	$ V $	$ E $	A_{\max}	\bar{A}
Austin	2.7K	317.5K	0.79K	118.83	Madrid	4.6K	1 912.2K	2.86K	412.52
SaltLakeCity	6.3K	329.0K	0.57K	52.74	Berlin	12.8K	1 965.8K	6.48K	162.02
Denver	9.5K	708.7K	1K	74.71	Rome	8.8K	2 267.7K	2.93K	259.91
Houston	9.8K	1 111.8K	1.57K	113.01	Toronto	10.8K	3 296.1K	2.14K	305.85
Budapest	5.5K	1 375.2K	2.24K	264.42	Sweden	51.4K	3 926.5K	7.97K	79.26
LosAngeles	15.0K	1 903.2K	1.4K	128.21	-	-	-	-	-

6.1 查询时间

查询沿用文献[21]提供的查询集.每个数据集的查询集内有 10 万个查询.每个查询包括起点 s 、终点 d 、时刻 t 和 t' 、费用上限 θ_s 和 d 从顶点集中随机产生, t 和 t' 从数据集的时间域随机产生.费用上限 θ 是在 $[\theta_{\min}, \theta_{\max}]$ 范围内的一个随机数: θ_{\min} 表示不考虑路径上相邻的边之间的时间顺序,从 s 到 d 的最小费用; θ_{\max} 表示从 s 到 d 的某条随机的边出发的最短耗时路径的费用.带费用限制的最早到达路径查询使用 s, d, t 和 θ 作为查询参数;带费用限制的最晚出发路径查询使用 s, d, t' 和 θ ;带费用限制的最短耗时路径查询使用 s, d, t, t' 和 θ .

实验将 ACCTL 与文献[1]提出的一种 Dijkstra 变种算法作对比.因为文献[1]解决的问题与本文的有差别(回顾文献[1]求解不超过费用上限的、路径上相邻的边满足时间顺序约束的、长度最短的路径),因此将文献[1]的 Dijkstra 变种算法修改成解决本文问题的算法,也即第 2 节讨论的 Dijk-CCMTP 的变种算法进行 3 类查询.下文中,对用基于 Dijkstra 方法求解带费用限制的最早到达路径、最晚出发路径和最短耗时路径的方法标记为 Dijk-CCEAP、Dijk-CCLDP 和 Dijk-CCSDP;对采用 ACCTL 索引查询的方法标记为 ACCTL-CCEAP、ACCTL-CCLDP 和 ACCTL-CCSDP.

图 2 显示了基于 Dijkstra 变种算法和基于 ACCTL 索引方法的查询时间对比.实验一共测试了 11 组数据,y 轴以 ms 为单位,用对数的比例显示每组数据的平均查询时间.ACCTL 索引的 α 取 1 求精确解,即调用 BuildIndex 时不执行第 18 行~第 22 行去掉部分 α -支配路径的代码.

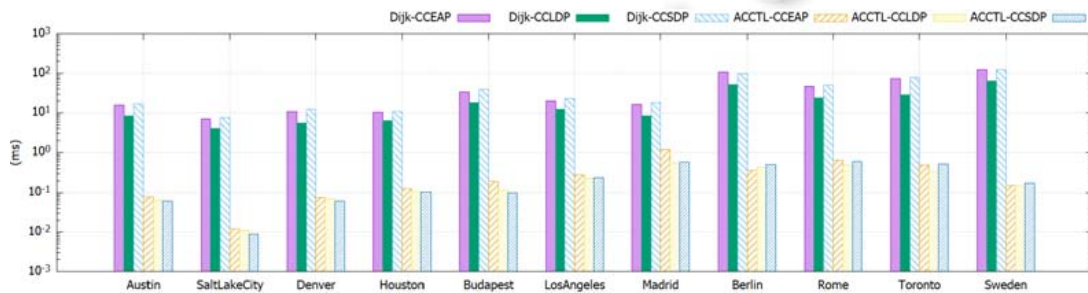


Fig.2 Query times of the Dijkstra variant method and ACCTL

图 2 基于 Dijkstra 搜索的变种算法和 ACCTL 索引的查询时间

总体看来,基于 ACCTL 索引的平均查询时间比基于 Dijkstra 的搜索快 2 个~3 个数量级.这是因为 ACCTL

在预先计算的路径集中查找路径生成解,避免在原图上盲目搜索.就各组数据的基于 ACCTL 索引的查询时间对比,查询时间与索引大小和图的度数有关.总体来说,索引越大,查询时间就越长.图 3 的各组数据的第 1 根柱子显示了 $\alpha=1$ 时的索引大小.留意到 Madrid 的索引比 Los Angeles 和 Berlin 的都小,但查询时间长.这是因为 Madrid 的平均顶点度数大.顶点 v 的度数越大, v 到达图中其他顶点(或从图中其他顶点到达 v)的可能性越大,即 $\mathcal{L}_+(s)$ 和 $\mathcal{L}_-(d)$ 有拥有相同端点的标签组越多,所以需要匹配的标签组越多,查询时间越长.此外,最短耗时路径查询的速度比最早到达路径查询的稍慢,甚至在个别数据中最短耗时路径的查询比最早到达路径的更快(例如 Berlin 的 Dijk-CCEAP 与 Dijk-CCSDP、SaltLakeCity 的 ACCTL-CCEAP 与 ACCTL-CCSDP),这是因为最短耗时路径查询受到到达时刻 t' 的约束,可以帮助剪枝掉部分搜索;而最早到达路径的到达时刻没有 t' 的约束,所以搜索量反而更大.

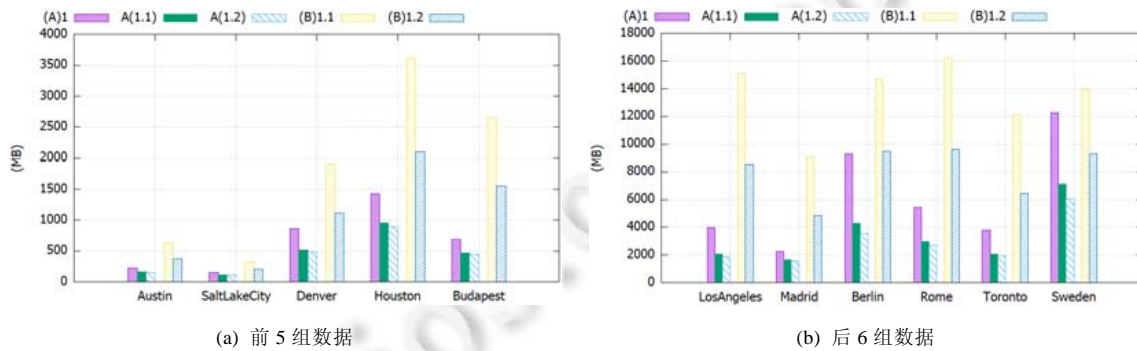


Fig.3 Index size (MB) of group A and B, with $\alpha=1, 1.1, 1.2$ respectively

图 3 A 组 α 取 1、1.1、1.2 和 B 组 α 取 1.1、1.2 时,各个图的索引大小(MB)

6.2 索引的大小

本节讨论 α 取值以及路径的费用值浮动对索引大小的影响.实验设置两大组数据集:A 组数据集的设置如上文所述,一条从 u 到 v 的边的费用取值图中所有从 u 到 v 的边的耗时的平均值;B 组数据集的图中一条边 e 的费用取值为 $[0.7 \times \pi, 1.3 \times \pi]$ 范围内的一个随机整数,其中, π 表示通过 e 的耗时,即令边的费用取值多样化.换句话说,A 组的图的边的费用取值单一,B 组的图的边的费用取值多样.

图 3 的每组数据的前 3 根柱子显示了 A 组数据集下 α 取 1,1.1 和 1.2 时各个图的索引大小,以 MB 为单位,分别标记为(A)1、(A)1.1、(A)1.2.当 α 递增时,索引变小.因为 ACCTL 利用 α -支配去掉部分基本路径, α 放得越宽,可以被去掉的基本路径就越多.另一方面, α 从 1.1 递增到 1.2 时,索引变小的幅度明显比 α 从 1 递增到 1.1 时的小.这是因为 ACCTL 需要保证原图中 ($\alpha=1$ 时)的每条基本路径 P ,在索引中都存在路径 α -支配 P ,而不是在 $\alpha=1.1$ 时保留的路径的基础上去掉 α -支配的路径.

图 3 的每组数据的后两根柱子表示 B 组数据集取 $\alpha=1.1$ 和 $\alpha=1.2$ 的索引大小,分别标记为(B)1.1 和(B)1.2.留意到 B 组的索引明显比 A 组要大.因为 B 组的图中边的费用取值多样,导致两点间路径的费用取值也多样,因此基本路径数也比 A 组要多.在 B 组数据集中,从 $\alpha=1.1$ 递增到 $\alpha=1.2$ 时,索引大小有 40%~50%的降幅.这是因为路径费用值取值多样,使得 α 变大后,有更多的路径因为 α -支配被去掉.

综合上述比较,索引大小与 α 取值和图的费用值浮动的大小有关: α 越大,索引越小,但随着 α 的增大,索引大小降幅变慢.另一方面,当图的路径的费用值浮动越大时, α 的影响也越大.

6.3 建立索引的时间

图 4 显示了两大组数据建立索引的时间(单位:s).总体来说,A 组的建立索引时间小于 B 组,因为 A 组的基本路径数小于 B 组.两组数据的 $\alpha=1.1$ 和 $\alpha=1.2$ 的建立索引时间差别不大,可见,建立索引的瓶颈在于生成基本路径,不在于计算 α -支配路径.这与第 5.1 节对 BuildIndex 算法的第 18 行~第 22 行的讨论一致.在 A 组数据内, $\alpha=1$

时建立索引的时间略小于 $\alpha=1.1$ 和 1.2 ,因为 $\alpha=1$ 时不需要执行BuildIndex的第18行~第22行.留意到图Sweden在 $\alpha=1$ 时的执行时间反而大于 $\alpha=1.1$ 和 1.2 ,这是因为 $\alpha=1$ 时基本路径数多,对标签进行排序的时间不可忽略.

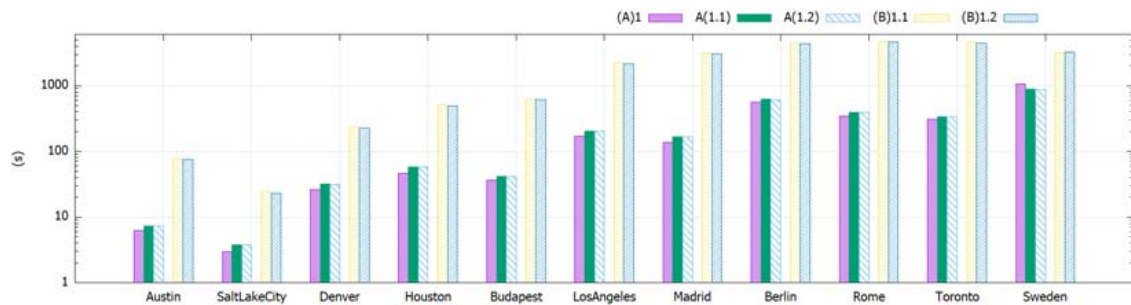


Fig.4 Index construction time of group A and B, with with $\alpha=1, 1.1, 1.2$ respectively

图4 A组 α 取1、1.1、1.2和B组 α 取1.1、1.2时,各个图建立索引的时间

7 结束语

本文研究了公交网络下带费用限制的最小时态路径查询问题,提出了一种高效索引结构 ACCTL.ACCTL通过预计算图中部分路径的信息,使得任意查询可以通过在 ACCTL 中检索路径生成近似解,避免在原图上盲目搜索,从而提高查询效率.本文对 ACCTL 的存储结构、建立索引方法和查询算法做了多方面的讨论和优化.实验验证了 ACCTL 索引支持的查询速度比在原图上采用 Dijkstra 变种算法的查询速度快 2 个~3 个数量级,并分析了 ACCTL 的存储空间和建立索引的时间的影响因素.

References:

- [1] Sudip B, Arnab G, Rahul S. Restricted shortest path in temporal graphs. In: Proc. of the DEXA 2015, Part I. LNCS 9261, 2015. 13–27.
- [2] Yang YJ, Gao H, Li JZ. Finding the optimal path under time-dependent cost function on graphs. Chinese Journal of Computers, 2012,35(11):2247–2264 (in Chinese with English abstract).
- [3] Yang Y, Gao H, Yu JX, Li J. Finding the cost-optimal path with time constraint over time-dependent graphs. Proc. of the VLDB Endowment, 2014,7(9):673–684.
- [4] Wang L, Yang LX, Gao ZY. The constrained shortest path problem with stochastic correlated link travel times. European Journal of Operational Research, 2016,255:43–57.
- [5] He SX, Fan BQ, Yan L. Improved optimal path searching algorithm in transit network. Journal of University of Shanghai for Science and Technology, 2006,28(1):63–67 (in Chinese with English abstract).
- [6] Wei JL, Fan XH, Liu LL, Liu Y, Ren JM, Sun QL. Solution of the optimization model of bus network time-limited free transfer based on DFS-backtracking algorithm. Science Technology and Engineering, 2017,17(10):304–307 (in Chinese with English abstract).
- [7] Garey MR, Johnson DS. Computers and Intractability: A Guide to the Theory of NP-completeness. New York: W.H. Freeman & Co., 1979.
- [8] Storandt S. Route planning for bicycles-exact constrained shortest paths mad pratical via contraction hierarchy. In: Proc. of the ICAPS. AAAI Press, 2012. 234–242.
- [9] Geisberger R, Sanders P, Schultes D, Delling D. Contraction hierarchies: Faster and simple hierarchical routing in road networks. In: Proc. of the WEA. LNCS 5038, Springer-Verlag, 2008. 319–333.
- [10] Lozano L, Medaglia AL. On an exact method for the constrained shortest path problem. Computers and Operations Research, 2013, 40(1):378–384.
- [11] Ma TY, An A^* label-setting algorithm for multimodal resource constrained shortest path problem. Procedia-Social and Behavioral Science, 2014,111:330–339.

- [12] Tsaggouris G, Zaroliagis CD. Multiobjective optimization: Improved FPTAS for shortest paths and non-linear objectives with applications. *Theory of Computer Systems*, 2009,45(1):162–186.
- [13] Sedeno-Noda A, Alonso-Rodriguez S. An enhanced K-SP algorithm with pruning strategies to solve the constrained shortest path problem. *Applied Mathematics and Computation*, 2015,265:602–618.
- [14] Sibó W, Xiaokui X, Yin Y, Wenqing L. Effective indexing for approximate constrained shortest path queries on large road networks. *Proc. of the VLDB Endowment (PVLDB)*, 2016,10(2):61–72.
- [15] Abraham I, Delling D, Goldberg AV, Werneck RF. Hierarchical hub labelings for shortest paths. In: *Proc. of the European Conf. on Algorithms*. Springer-Verlag, 2012. 24–35.
- [16] Cooke KL, Halsey E. The shortest route through a network with time-dependent intermodal transit times. *Journal of Mathematical Analysis and Applications*, 1966,14(3):493–498.
- [17] Geisberger R. Contraction of timetable networks with realistic transfers. In: *Proc. of the Int'l Symp. on Experimental Algorithms (SEA 2010)*. LNCS 6049, Springer-Verlag, 2010. 71–82.
- [18] Dibbelt J, Pajor T, Strasser B, Wanger D. Intriguingly simple and fast transit routing. In: *Proc. of the Int'l Symp. on Experimental Algorithms (SEA 2013)*. LNCS 7933, Springer-Verlag, 2013. 43–54.
- [19] Wu H, Cheng J, Huang S, Ke Y, Lu Y, Xu Y. Path problems in temporal graphs. *Proc. of the VLDB Endowment (PVLDB)*, 2014,7(9):721–732.
- [20] Wu H, Cheng J, Ke Y, Huang S, Huang Y, Wu H. Efficient algorithms for temporal path computation. *IEEE Trans. on Knowledge and Data Engineering*, 2016,28(11):2927–2924.
- [21] Wang SB, Lin WQ, Yang Y, Xiao XK, Zhou SG. Efficient route planning on public transportation networks: A labelling approach. In: *Proc. of the ACM SIGMOD Int'l Conf. on Management of Data (SIGMOD)*. New York: ACM, 2015. 967–982.
- [22] Delling D, Dibbelt J, Pajor T, Werneck RF. Public transit labelling. In: *Proc. of the Experimental Algorithms*. Springer Int'l Publishing, 2015. 273–285.
- [23] Bast H, Delling D, Goldberg AV, Hannemann MM, Pajor T, Sanders P, Wanger D. Route planning in transportation networks. In: *Kliemann L, Sanders P, eds. Proc. of the Algorithm Engineering*. LNCS 9220, Cham: Springer-Verlag, 2016.
- [24] Foschini L, Hershberger J, Suri S. On the complexity of time-dependent shortest paths. *Algorithmica*, 2014,68(4):1075–1097.
- [25] GTFS. 2017. <https://code.google.com/p/googletransitdatafeed/wiki/PublicFeeds>

附中中文参考文献:

- [2] 杨雅君,高宏,李建中.时间依赖函数下的最优路径查询问题研究. *计算机学报*,2012,35(11):2247–2264.
- [5] 何胜学,范炳全,严凌.公交网络最优路径的一种改进求解算法. *上海理工大学学报*,2006,28(1):63–67.
- [6] 魏金丽,范鑫贺,刘莲莲,刘阳,任杰陆,孙启龙.基于深度优先遍历算法-回溯算法的公交网络限时免费换乘优化模型求解. *科学技术与工程*,2017,17(10):304–307.



马慧(1981—),女,广东中山人,博士,副教授,CCF 专业会员,主要研究领域为数据库管理,图数据库与查询分析,算法设计.



梁瑞仕(1982—),男,博士,副教授,CCF 专业会员,主要研究领域为智能规划及其应用,大数据.



汤庸(1961—),男,博士,教授,博士生导师,CCF 杰出会员,主要研究领域为学术社交网络,教育大数据服务.